

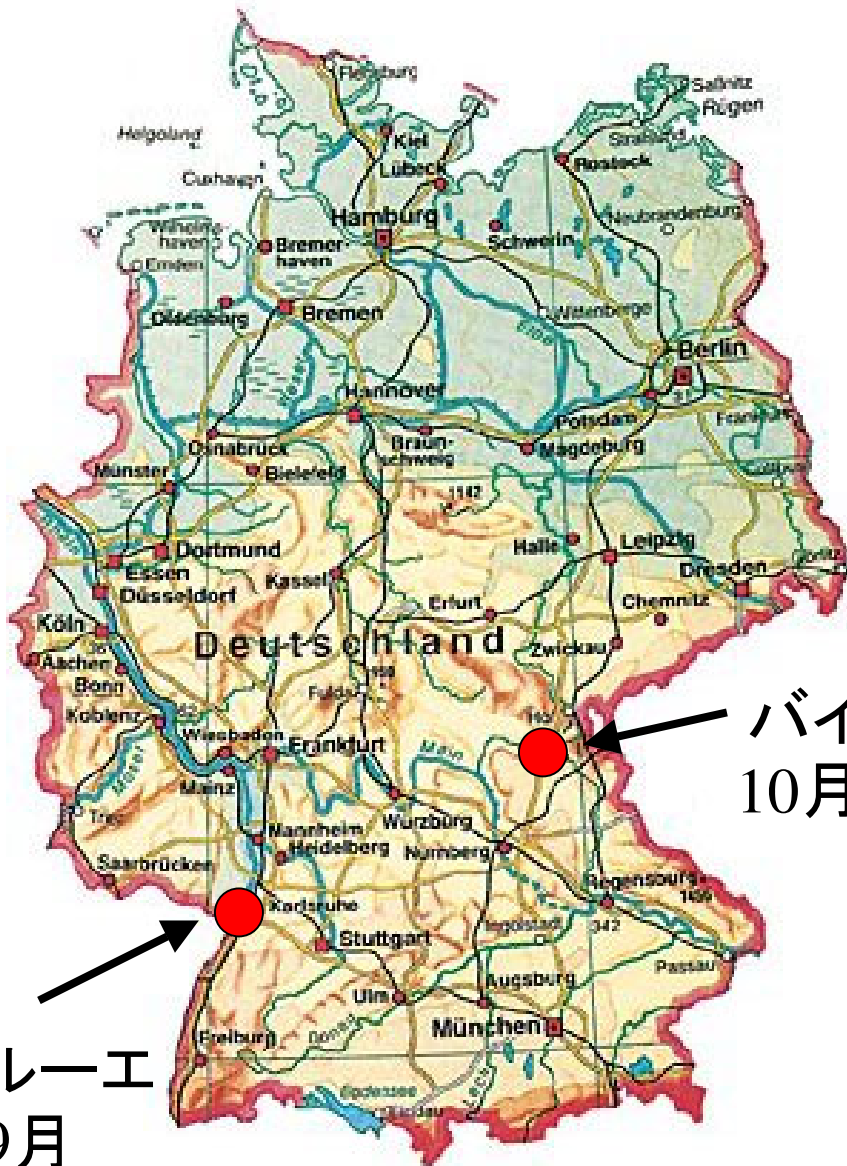
# 超伝導状態の輸送方程式 における ゲージ不変性とホール項



北大・理・物理  
北 孝文

- 輸送方程式について
  - ◆ 研究の歴史
  - ◆ 微視的導出法
  - ◆ 問題点—Hall 項
  - ◆ 超伝導体の Hall 効果の実験
- 非平衡状態の摂動論—Keldyshの方法
- 輸送方程式の微視的導出と問題点
- ゲージ不変性とホール項
- まとめ

# ドイツでの生活



バイロイト  
10月－3月

カールスルーエ  
4月－9月



カールスルーエのお城



モーゼル溪谷



ザルツカンマーグート(オーストリア)

---



バイロイト近郊

## ドイツでの研究

- 超流動  $^3\text{He}$  の渦構造 (Karlsruhe)  
T. Kita: Phys. Rev. Lett. **86** (2001) 834
- 超伝導体の de Haas-van Alphen 効果 [安井]  
K. Yasui and T. Kita:  
J. Phys. Soc. Jpn. **70** (2001) 2852;  
cond-mat/0103336
- 超伝導状態の輸送方程式 (Bayreuth)  
T. Kita: Phys. Rev. B **64** (2001) 054503;  
cond-mat/0103520

# 輸送方程式研究の歴史

## ● Boltzmann方程式(1872)

希薄気体; H定理の証明

## ● Landau-Boltzmann方程式(1956)

フェルミ流体, 相互作用強

## ● Landau-Boltzmann方程式の微視的導出

Landau(1958), Kadanoff-Baym(1961-2)  
Keldysh(1964)

Dyson方程式出発点, 準粒子近似(寿命  $\tau$  大)

保存則成立の条件(Kadanoff-Baym)

動的な場合の摂動論(Keldysh)

## ● 準古典方程式の導出( $\xi$ 積分)

Prange-Kadanoff(1964)

寿命  $\tau$  が小さくてもOK, 適用範囲大

## ●超伝導体の準古典方程式

Eilenberger(1968)—静的な場合(松原)

Larkin-Ovchinnikov(1968)—より簡便な導出

Eliashberg (1971) —動的な場合(Keldysh)

## ●超流動 $^3\text{He}$ への適用

Serene-Rainer(1983)

## ●Landau-Boltzmann方程式・準古典方程式 におけるホール効果

Levanda-Fleurov(1994), Kopnin(1994-),

Larkin-Ovchinnikov(1995)

Houghton-Vekhter(1998)

ホール項の微視的導出

# ボルツマン方程式

分布関数  $f(\mathbf{p}, \mathbf{r}, t)$  の時間変化

$$\frac{\partial f}{\partial t} + \mathbf{v} \cdot \frac{\partial f}{\partial \mathbf{r}} + (e\mathbf{E} + e\mathbf{v} \times \mathbf{h}) \cdot \frac{\partial f}{\partial \mathbf{p}} = I[f]$$

ドリフト

外場

衝突

Lorentz力

$$\left\{ \begin{array}{l} \mathbf{E} : (\text{微視的}) \text{電場} \\ \mathbf{h} : (\text{微視的}) \text{磁場} \end{array} \right.$$



希薄気体・単純金属の性質



# なぜ輸送方程式か？

Dyson 方程式

解けない！  
(非一様系)

変数の消去

Landau-Boltzmann 方程式  
準古典方程式

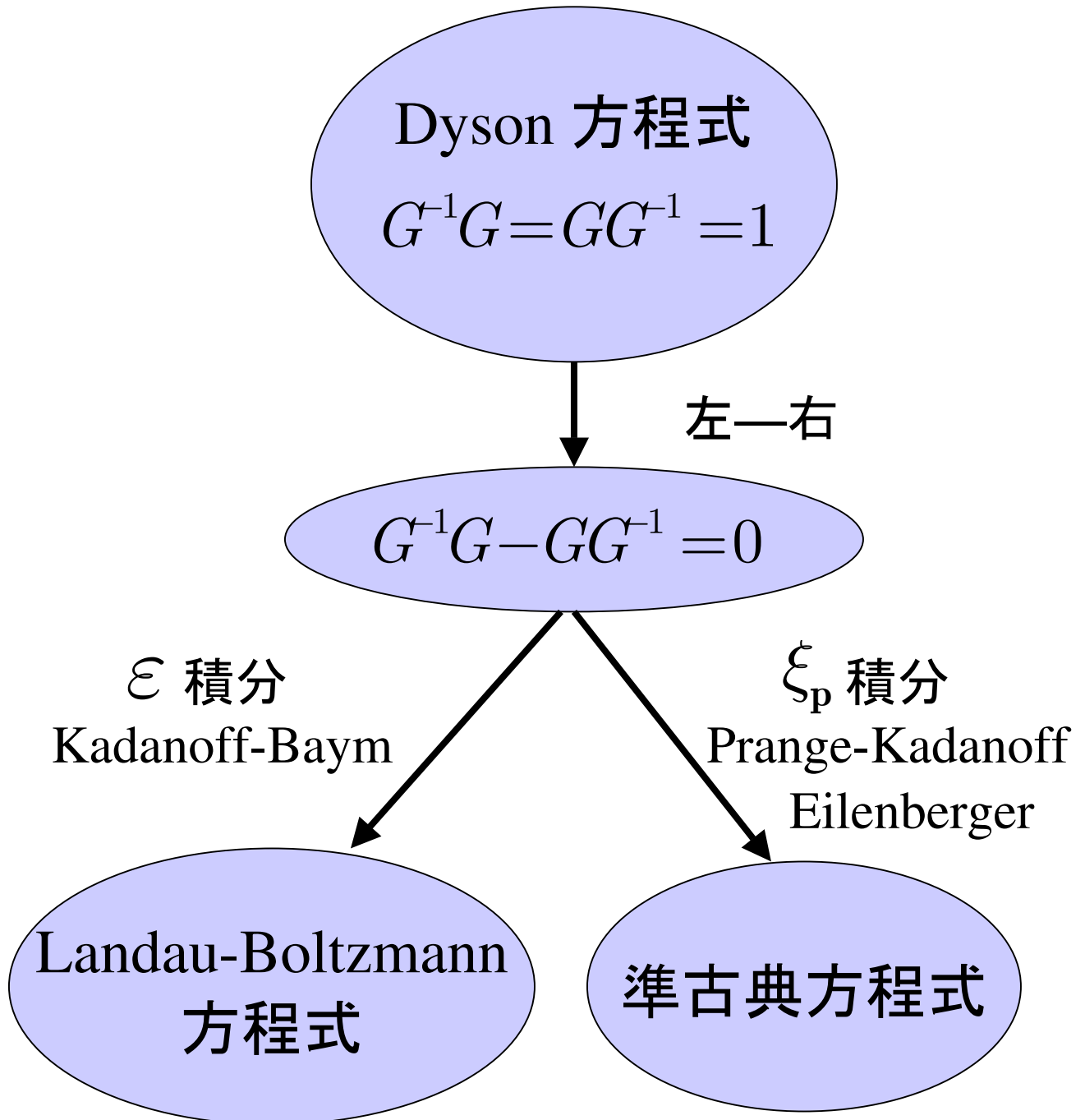
情報  
失われず

何とか  
解ける？

変数の消去  
熱平衡 +  $T_c$  近傍

Ginzburg-Landau 方程式  
(熱平衡の超伝導体)

# 輸送方程式の微視的導出法



## 問題点

$$\frac{\partial f}{\partial t} + \mathbf{v} \cdot \frac{\partial f}{\partial \mathbf{r}} + (e\mathbf{E} + e\mathbf{v} \times \mathbf{h}) \cdot \frac{\partial f}{\partial \mathbf{p}} = I[f]$$

の  $(e\mathbf{v} \times \mathbf{h}) \cdot \frac{\partial f}{\partial \mathbf{p}}$  の項が出てこない！？

- 存在するのか？  
(手で付け加えればよい？)
- 高周波の外場については？
- 超伝導体では？

# 高温超伝導体YBCOのホール効果

ホール抵抗の符号が反転！

## ●Bardeen & Stephen ('65)

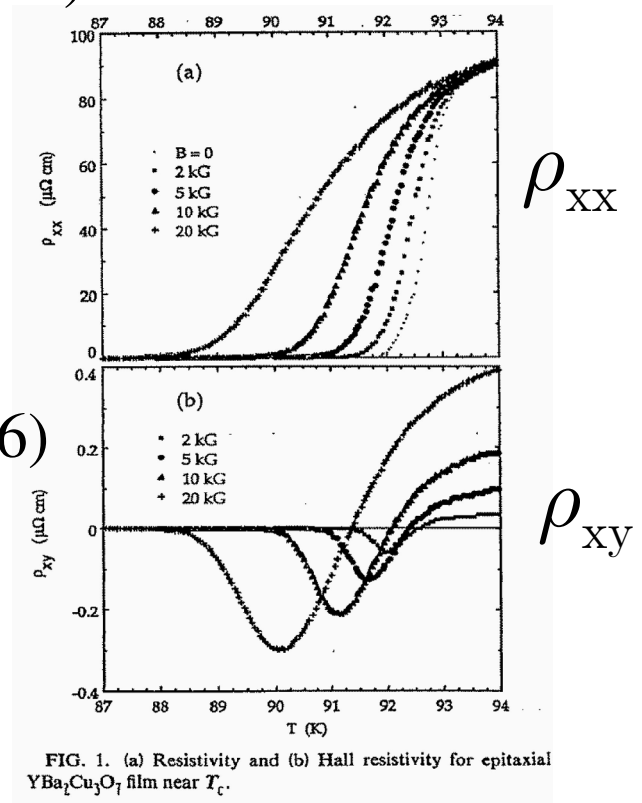
$$\rho_{xx} \propto B / H_{c2}$$

$$\rho_{xy} \propto B^2 / H_{c2}$$

## ●Nozieres & Vinen ('66)

$$\rho_{xx} \propto B / H_{c2}$$

$$\rho_{xy} \propto B / H_{c2}$$



## ●Time-dependent GL

Hagen *et. al.* '93

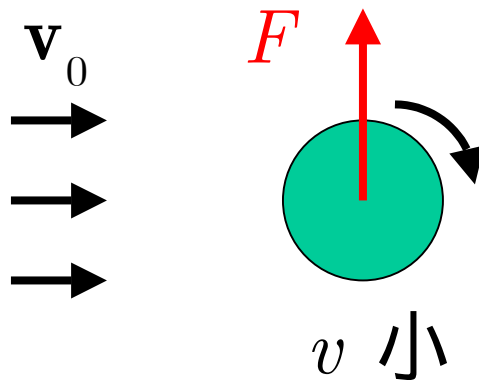
理論は符号反転を説明できない！

## 単一渦糸に働く力

(渦糸の運動 → 電気抵抗)

●Ao & Thouless ('93)

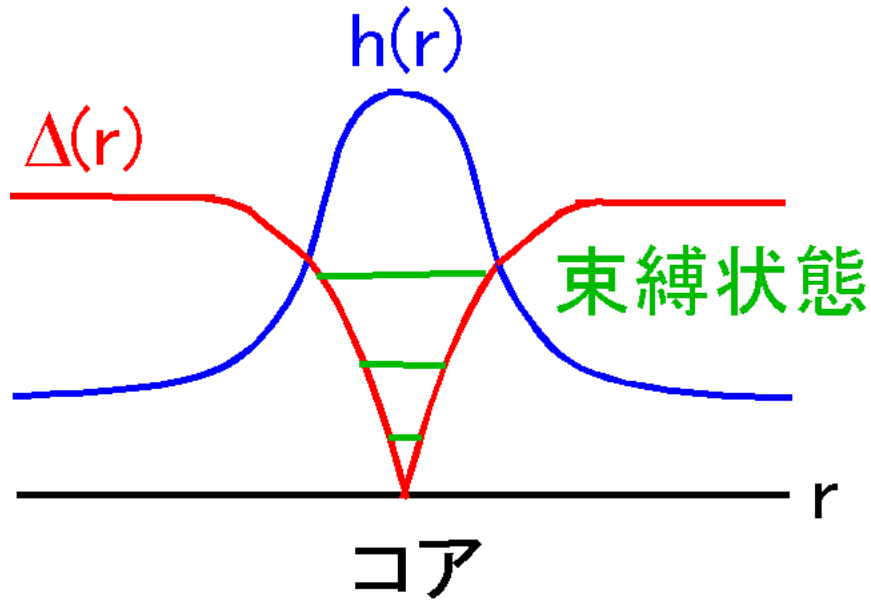
横方向の力はマグナス力のみ！？  
(クッター-ジュ-コフスキーの揚力)



$$p + \frac{1}{2}\rho v^2 = \text{一定}$$

Bernoulliの定理

# ローレンツ力は？



$$e(\mathbf{v} \times \mathbf{h}) \cdot \frac{\partial f}{\partial \mathbf{p}} \quad ?$$

超伝導体のHall効果はよくわかっていない！  
(基礎方程式の不在)

# グリーン関数

- シュレーディンガー方程式

$$\left( i \frac{\partial}{\partial t} - H \right) \psi(\mathbf{r}t) = 0$$

- グリーン関数

$$\left( i \frac{\partial}{\partial t_1} - H_1 \right) G(\mathbf{r}_1 t_1, \mathbf{r}_0 t_0) = \delta(\mathbf{r}_1 - \mathbf{r}_0) \delta(t_1 - t_0)$$

(  $G^{-1}G=1$  と行列表示できる )

- 時刻  $t_1 > t_0$  の解

$$\psi(\mathbf{r}_1 t_1) = \int G(\mathbf{r}_1 t_1, \mathbf{r}_0 t_0) \psi(\mathbf{r}_0 t_0) d\mathbf{r}_0$$

- $H = -\frac{\nabla^2}{2m}$  (自由粒子) のとき

$$G(\mathbf{r}_1 t_1, \mathbf{r}_0 t_0) = \int \frac{d\mathbf{p} d\varepsilon}{(2\pi)^4} G(\mathbf{p}\varepsilon) e^{i\mathbf{p}\cdot(\mathbf{r}_1 - \mathbf{r}_0) - i\varepsilon(t_1 - t_0)}$$

$$G(\mathbf{p}\varepsilon) = \frac{1}{\varepsilon - p^2/2m}$$

- $H = H_0 + V$  のとき

$$\begin{aligned} G &= (G^{-1})^{-1} = (G_0^{-1} - V)^{-1} = [(1 - G_0 V)]^{-1} G_0 \\ &= G_0 + G_0 V G_0 + G_0 V G_0 V G_0 + \dots \end{aligned}$$

← + ← × ← + ← × ← × ← + …



$t$



# ゲージ不変性

- シュレーディンガー方程式

$$\left( i \frac{\partial}{\partial t} - H \right) \psi(\mathbf{r}t) = 0$$

$$H = \frac{1}{2m} \left( \frac{\nabla}{i} - e\mathbf{A}(\mathbf{r}t) \right)^2 + e\Phi(\mathbf{r}t) + V(\mathbf{r})$$

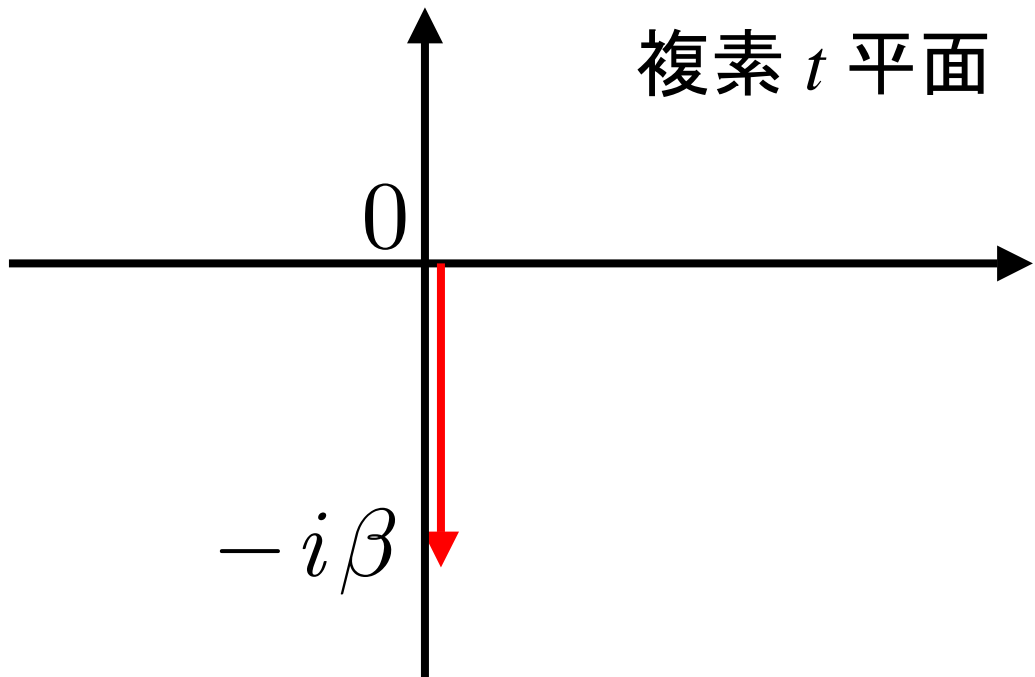
は変換

$$\left\{ \begin{array}{l} \psi(\mathbf{r}t) \rightarrow \exp[ie\chi(\mathbf{r}t)]\psi(\mathbf{r}t) \\ \mathbf{A}(\mathbf{r}t) \rightarrow \mathbf{A}(\mathbf{r}t) + \frac{\partial\chi(\mathbf{r}t)}{\partial\mathbf{r}} \\ \Phi(\mathbf{r}t) \rightarrow \Phi(\mathbf{r}t) - \frac{\partial\chi(\mathbf{r}t)}{\partial t} \end{array} \right.$$

に対し不変 (形が変化せず)

# 熱平衡状態の摂動論

$$H = H_0 + H_1$$



$(0, -i\beta)$  の区間での摂動展開

## 摂動展開と松原グリーン関数

$$e^{-\beta H} = e^{-\beta H_0} U(\beta)$$

$$U(\beta) = 1 + \sum_{n=1}^{\infty} (-1)^n \int_0^{\beta} d\tau_1 \cdots \\ \times \int_0^{\tau_{n-1}} d\tau_n H_1(\tau_1) \cdots H_1(\tau_n)$$

$$H_1(\tau) = e^{\tau H_0} H_1 e^{-\tau H}$$

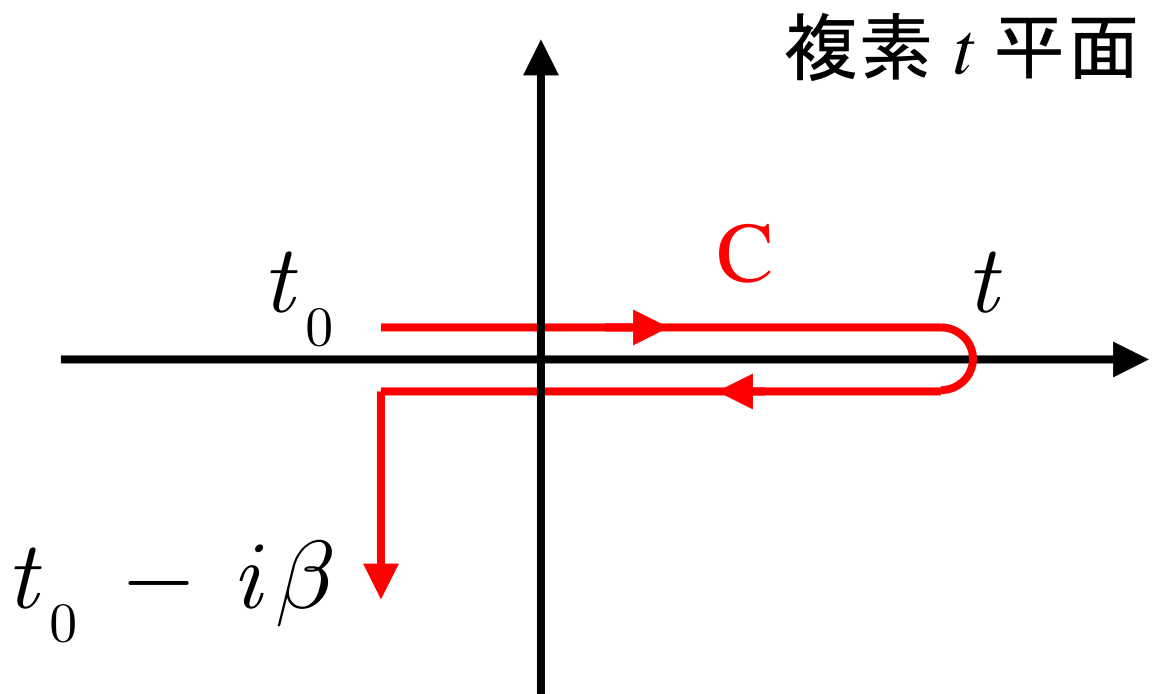
## 松原グリーン関数

$$G(\tau_1, \tau_2) = -\langle T_{\tau} \psi(\tau_1) \psi^{\dagger}(\tau_2) \rangle$$

$T_{\tau}$  :  $(0, -i\beta)$ での演算子の整列

# 非平衡状態の摂動論 (力学的摂動)

$$\mathcal{H}(t) = H + H'(t)\theta(t - t_0)$$



曲線C上での摂動展開

## 量子リウヴィル方程式 (密度行列の時間発展)

$$\frac{\partial \rho(t)}{\partial t} = -i[\mathcal{H}(t), \rho(t)]$$

解：  $\rho(t) = S(t, t_0)\rho(t_0)S^\dagger(t, t_0)$

$$S(t, t_0) \equiv 1 + \sum_{n=1}^{\infty} (-i)^n \int_{t_0}^t dt_1 \cdots \\ \times \int_{t_0}^{t_{n-1}} dt_n \mathcal{H}(t_1) \cdots \mathcal{H}(t_n)$$

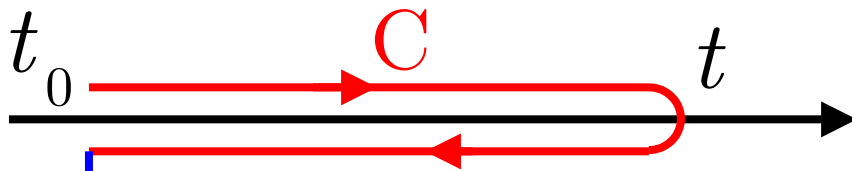
## 演算子 $\mathcal{O}$ の期待値

$$\langle \mathcal{O}(t) \rangle = \text{Tr} \rho(t) \mathcal{O}$$

$$= \text{Tr} \rho(t_0) S^\dagger(t, t_0) \mathcal{O} S(t, t_0)$$

## 演算子の期待値

$$\langle \mathcal{O}(t) \rangle = \text{Tr} \rho(t_0) S^\dagger(t, t_0) \mathcal{O} S(t, t_0)$$



$S, \rho$  を相互作用  $H_1$  で再展開

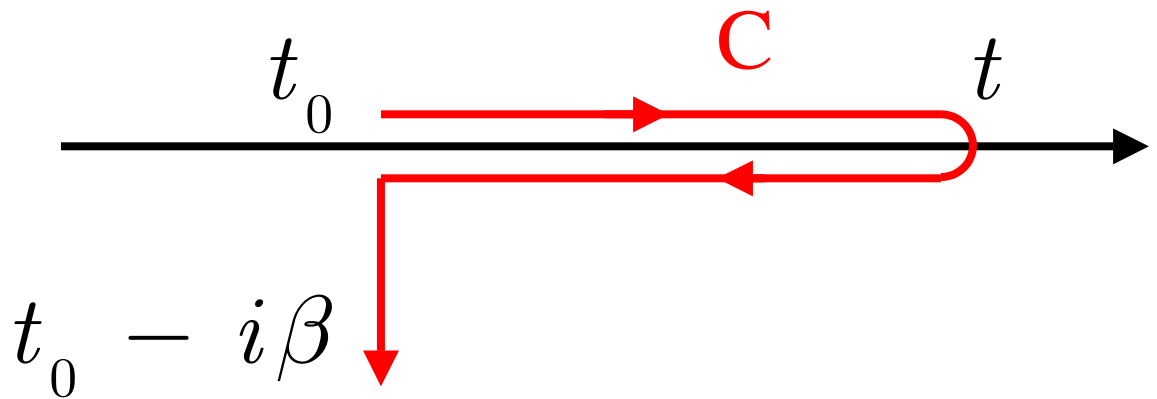
## Contour-Ordered Green's function

$$G(t_1, t_2) = -i \langle T_C \psi(t_1) \psi^\dagger(t_2) \rangle$$

$T_C$  :  $C$  上での演算子の整列

- 平衡状態と同じテクニックが使える！
- 非線形効果まで扱える(力学的摂動)！

# Keldysh グリーン関数



$$G^R \equiv G_{\text{上上}} - G_{\text{上下}} \quad : \text{遅延}$$

$$G^A \equiv G_{\text{上上}} - G_{\text{下上}} \quad : \text{先進}$$

$$G^K \equiv G_{\text{上下}} + G_{\text{下上}} \quad : \text{Keldysh}$$

$$\check{G} \equiv \begin{bmatrix} G^R & G^K \\ 0 & G^A \end{bmatrix} \quad : \text{Keldysh 行列}$$

を用いた摂動展開(1964)

# 一樣系

$$\left[ i \frac{\partial}{\partial t_1} + \frac{\nabla_1^2}{2m} + \mu \right] \check{G}(1, 2) = \check{1} \delta(1, 2) \quad 1 \equiv (\mathbf{r}_1, t_1)$$

$$\check{G}(1, 2) = \int \frac{d\mathbf{p}}{(2\pi)^3} \int \frac{d\varepsilon}{2\pi} \check{G}(\mathbf{p}, \varepsilon) e^{i\mathbf{p} \cdot \mathbf{r}_{12} - i\varepsilon t_{12}}$$



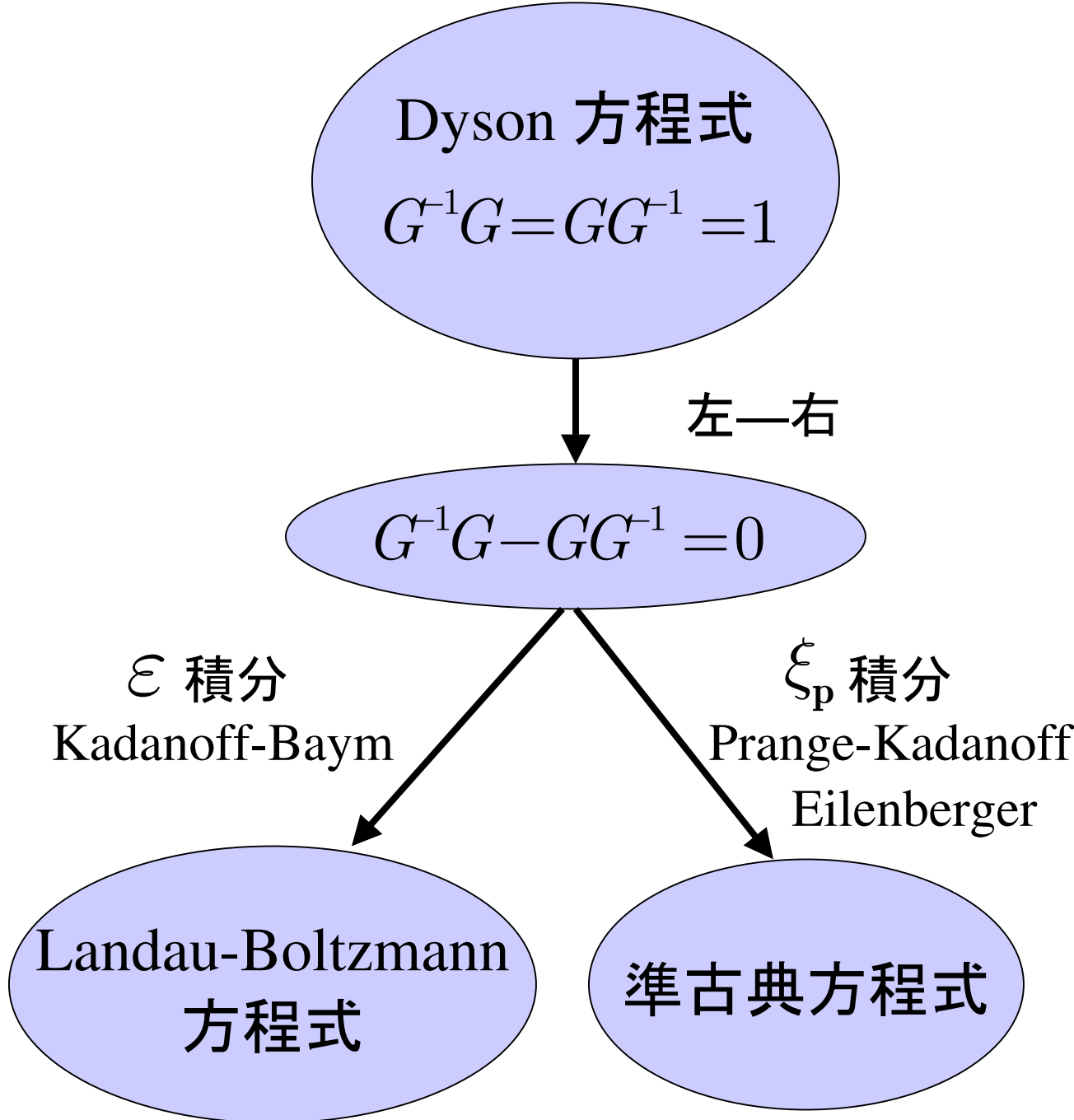
$$G^{\text{R}}(\mathbf{p}, \varepsilon) = \frac{1}{\varepsilon_+ - \xi_{\mathbf{p}}} \quad \xi_{\mathbf{p}} \equiv \frac{p^2}{2m} - \mu$$

$$G^{\text{A}}(\mathbf{p}, \varepsilon) = \frac{1}{\varepsilon_- - \xi_{\mathbf{p}}}$$

$$G^{\text{K}}(\mathbf{p}, \varepsilon) = 2\pi i (2f_{\mathbf{p}} - 1) \delta(\varepsilon - \xi_{\mathbf{p}})$$



# 輸送方程式の微視的導出法



## ダイソン方程式(正常状態)

$$\left[ i \frac{\partial}{\partial t_1} + \frac{\nabla_1^2}{2m} - \underset{\substack{\uparrow \\ \text{外場}}}{U_1}} + \mu \right] G(1,2) = \delta(1,2)$$

$(1 \equiv \mathbf{r}_1 t_1)$

### Wigner表示

$$G(1,2) = \int \frac{d\mathbf{p}}{(2\pi)^3} \int \frac{d\varepsilon}{2\pi} G(\mathbf{p}\varepsilon, \mathbf{R}T) e^{i\mathbf{p}\cdot\mathbf{r}_{12} - i\varepsilon t_{12}}$$



**RT**について展開

$$1 = (\varepsilon - \xi_{\mathbf{p}} - U)G(\mathbf{p}\varepsilon, \mathbf{R}T)$$

$$+ \frac{i}{2} \left( \partial_T + \frac{\mathbf{p}}{m} \cdot \partial_{\mathbf{R}} + \frac{\partial U}{\partial T} \cdot \partial_{\varepsilon} - \frac{\partial U}{\partial \mathbf{R}} \cdot \partial_{\mathbf{p}} \right) G(\mathbf{p}\varepsilon, \mathbf{R}T)$$

$$\xi_{\mathbf{p}} \equiv \frac{p^2}{2m} - \mu, \quad U \equiv U(\mathbf{R}T), \quad \partial_{\mathbf{R}} \equiv \frac{\partial}{\partial \mathbf{R}}$$

## 輸送方程式(左-右)

$$\left( \frac{\partial}{\partial T} + \frac{\mathbf{p}}{m} \cdot \frac{\partial}{\partial \mathbf{R}} + \frac{\partial U}{\partial T} \frac{\partial}{\partial \varepsilon} - \frac{\partial U}{\partial \mathbf{R}} \cdot \frac{\partial}{\partial \mathbf{p}} \right) G(\mathbf{p} \varepsilon \mathbf{R} T) = 0$$

⇓ 変数の消去

(1)  $\varepsilon$  積分  $\rightarrow$  Landau-Boltzmann Eq.

$$f(\mathbf{p} \mathbf{R} T) \equiv \frac{1}{2} \int_{-\infty}^{\infty} \frac{d\varepsilon}{2\pi i} G^K(\mathbf{p} \varepsilon \mathbf{R} T)$$

$$\int_{-\infty}^{\infty} \frac{d\varepsilon}{2\pi i} \frac{\partial}{\partial \varepsilon} G^K(\mathbf{p} \varepsilon \mathbf{R} T) = 0$$

準粒子近似

⇓

$$\left( \frac{\partial}{\partial T} + \frac{\mathbf{p}}{m} \cdot \frac{\partial}{\partial \mathbf{R}} - \frac{\partial U}{\partial \mathbf{R}} \cdot \frac{\partial}{\partial \mathbf{p}} \right) f(\mathbf{p} \mathbf{R} T) = 0$$

(2)  $\xi_p$  積分  $\rightarrow$  準古典方程式

$$f(\hat{\mathbf{p}}\varepsilon\mathbf{R}T) \equiv \int_{-\infty}^{\infty} \frac{d\xi_p}{2\pi i} G^K(\mathbf{p}\varepsilon\mathbf{R}T)$$

$$\int_{-\infty}^{\infty} \frac{d\xi_p}{2\pi i} \frac{\partial}{\partial \xi_p} G^K(\mathbf{p}\varepsilon\mathbf{R}T) = 0$$

準粒子近似



$$\left( \frac{\partial}{\partial T} + \frac{\mathbf{p}}{m} \cdot \frac{\partial}{\partial \mathbf{R}} + \frac{\partial U}{\partial T} \frac{\partial}{\partial \varepsilon} \right) f(\hat{\mathbf{p}}\varepsilon\mathbf{R}T) = 0$$

# どちらの適用範囲が広い？

相互作用のある場合  
Dyson方程式に自己エネルギー項

$$\Sigma(\mathbf{p}\varepsilon, \mathbf{R} T)G(\mathbf{p}\varepsilon, \mathbf{R} T)$$

## (1) $\varepsilon$ 積分

$$\Sigma(\mathbf{p}\varepsilon) \approx \Sigma(\mathbf{p}0) + \left. \frac{\partial}{\partial \varepsilon} \Sigma(\mathbf{p}\varepsilon) \right|_{\varepsilon=0} \varepsilon$$

## (2) $\xi_{\mathbf{p}}$ 積分

$$\Sigma(\mathbf{p}\varepsilon) \approx \Sigma(\mathbf{p}_{\mathbf{F}}\varepsilon) + \left. \frac{\partial}{\partial \mathbf{p}} \Sigma(\mathbf{p}\varepsilon) \right|_{\mathbf{p}=\mathbf{p}_{\mathbf{F}}} \cdot (\mathbf{p} - \mathbf{p}_{\mathbf{F}})$$

実数で近似

# 準古典方程式の適用範囲大

(1)  $\Sigma(\mathbf{p}\varepsilon, \mathbf{R} T)$  の $\mathbf{p}$ 依存性弱い

$\varepsilon$  依存性は大きい場合あり  
(ex. 電子格子相互作用)

(2) 寿命が短くても使える

$\xi$  積分では  $\Sigma(\mathbf{p}_F \varepsilon)$  が  
大きな虚部をもってもよい

## コメント

- 衝突項は自己エネルギー一項から

$$\Sigma(\mathbf{p}\varepsilon, \mathbf{R} T)G(\mathbf{p}\varepsilon, \mathbf{R} T)$$

- 超伝導状態の輸送方程式

$$\hat{G} = \begin{bmatrix} G & F \\ -F^* & -G^* \end{bmatrix} \quad : \text{南部行列}$$

$$G(1,2) \propto -i \langle T \psi(1) \psi^\dagger(2) \rangle$$

$$F(1,2) \propto -i \langle T \psi(1) \psi(2) \rangle$$

に同じ操作をすることで得られる。

分布関数を決める式

ペアポテンシャル  $\Delta$  を決める式

(CDWの輸送方程式も同様)

## 保存則成立の条件 (Baym)

$$\Phi = \text{diagram 1} + \text{diagram 2} + \text{diagram 3} + \text{diagram 4}$$

$$\Sigma = \frac{\partial \Phi}{\partial G}$$

$$= \text{diagram 1} + \text{diagram 2} + \text{diagram 3} + \text{diagram 4}$$

- $\Sigma$  は  $\Phi$  の  $G$  についての汎関数微分で！
- $\Sigma$  と  $G$  を自己無撞着に決定！



## 左Dyson

$$i \frac{\partial}{\partial t_1} G(1,2) - \left( \frac{-1}{2m} \nabla_1^2 - \mu \right) G(1,2) - \int \Sigma(1,3) G(3,2) d3 = \delta(1,2)$$

## 右Dyson

$$-i \frac{\partial}{\partial t_2} G(1,2) - \left( \frac{-1}{2m} \nabla_2^2 - \mu \right) G(1,2) - \int G(1,3) \Sigma(3,2) d3 = \delta(1,2)$$

## 右-左

$$-i \left( \frac{\partial}{\partial t_1} + \frac{\partial}{\partial t_2} \right) G(1,2) - \frac{(\nabla_1 + \nabla_2) \cdot (\nabla_1 - \nabla_2)}{2m} G(1,2) + \int [\Sigma(1,3) G(3,2) - G(1,3) \Sigma(3,2)] d3 = 0$$

## 粒子数と運動量

$$n(1) = -i G(1,1_+), \quad \mathbf{j}(1) = \frac{-(\nabla_1 - \nabla_2)}{2m} G(1,2) \Big|_{2=1_+}$$

## 粒子数の時間変化

$$\frac{\partial n(1)}{\partial t_1} + \nabla \cdot \mathbf{j}(1) = - \int [\Sigma(1,3) G(3,2) - G(1,3) \Sigma(3,2)] d3$$

右边 = 0 !?

$$\Sigma(1,2) = \frac{\delta\Phi}{\delta G(2,1)} \quad \text{の関係があるとき}$$

$G$  の微小変化による  $\Phi$  の変化

$$\begin{aligned} \delta\Phi &= \iint d1d2 \frac{\delta\Phi}{\delta G(2,1)} \delta G(2,1) \\ &= \iint d1d2 \Sigma(1,2) \delta G(2,1) \end{aligned}$$

ゲージ変換:  $G(2,1) \rightarrow e^{i\Lambda(2)} G(2,1) e^{-i\Lambda(1)}$

$G$  の微小変化:  $\delta G(2,1) = i\Lambda(2)G(2,1) - G(2,1)i\Lambda(1)$

ゲージ変換により  $\Phi$  は不変であるから

$$\begin{aligned} 0 = \delta\Phi &= \iint d1d2 \Sigma(1,2) [i\Lambda(2)G(2,1) - G(2,1)i\Lambda(1)] \\ &= i \int d1 \Lambda(1) \int d2 [\Sigma(2,1)G(1,2) - \Sigma(1,2)G(2,1)] \end{aligned}$$

$\Lambda(1)$  は任意であるから

$$\int d2 [G(1,2)\Sigma(2,1) - \Sigma(1,2)G(2,1)] = 0$$

保存則成立!

## 準古典近似—考慮すべき図形

$$\Phi = \text{diagram 1} + \text{diagram 2} + \text{diagram 3} + \text{diagram 4}$$

衝突項

2体相互作用ではこれらの図形のみ！！

他の項は量子補正

Serene&Rainer, Phys. Rep. 101 (1983) 221.  
Appendix A

## ホール項とゲージ不変性

(1) この方法では**ホール項**は導出できない

$$e(\mathbf{v} \times \mathbf{h}) \cdot \frac{\partial f}{\partial \mathbf{p}}$$

(2) ゲージ不変性がない！？

$$\begin{aligned} & -i\nabla_1 - e\mathbf{A}_1 \\ &= -i\nabla_{\mathbf{r}} - \frac{i}{2}\nabla_{\mathbf{R}} - e\mathbf{A}(\mathbf{R}, T) \\ & \quad - \frac{e}{2} \left[ \mathbf{r}_{12} \cdot \frac{\partial}{\partial \mathbf{R}} + t_{12} \frac{\partial}{\partial T} \right] \mathbf{A}(\mathbf{R}, T) + \dots \end{aligned}$$

$$\frac{\partial A_k}{\partial R_j} = \frac{1}{2} \varepsilon_{ijk} h_k + \frac{1}{2} \left( \frac{\partial A_k}{\partial R_j} + \frac{\partial A_j}{\partial R_k} \right)$$

## これまでの研究

- Larkin and Ovchinnikov (1995)

particle-hole asymmetry の効果  
小さい！

- Kopnin (1994)

静的電磁場・clean limit の理論  
導出過程が明快でない

- Houghton and Vekhter (1998)

静的電磁場の場合の理論  
ゲージ不変性なし！

- Levanda and Fleurov (1994)

ゲージ不変なBoltzmann方程式  
(半導体)

## 目的

- ホール項を持ちゲージ不変性のある輸送方程式の導出

輸送方程式の  
微視的導出法の確立  
(金属, 超伝導, CDW)

- 多体効果の影響
- 時間変動する電場への応答

出発点—Dyson方程式 (R成分)  
 $(G^{-1}G = 1)$

$$\left( i \frac{\partial}{\partial t_1} - e \Phi_1 \hat{\tau}_3 \right) \hat{G}(1,2) - \begin{bmatrix} \mathcal{H}_1 & 0 \\ 0 & -\mathcal{H}_1^* \end{bmatrix} \hat{G}(1,2) - \int \hat{\Sigma}(1,3) \hat{G}(3,2) d^3 = \delta(1,2) \hat{1}$$

$$\hat{G} = \begin{bmatrix} G & F \\ -F^* & -G^* \end{bmatrix}, \quad \hat{\Sigma} = \begin{bmatrix} \Sigma & \Delta \\ -\Delta^* & -\Sigma^* \end{bmatrix}$$

$$\mathcal{H}_1 = \frac{1}{2m} \left( -i \nabla_1 - e \mathbf{A}_1 \right)^2 - \mu$$

$(\Phi, \mathbf{A})$ : 電磁ポテンシャル

## ゲージ不変性

$$\left( i \frac{\partial}{\partial t_1} - e \Phi_1 \hat{\tau}_3 \right) \hat{G}(1,2) - \begin{bmatrix} \mathcal{H}_1 & 0 \\ 0 & -\mathcal{H}_1^* \end{bmatrix} \hat{G}(1,2) - \int \hat{\Sigma}(1,3) \hat{G}(3,2) d3 = \delta(1,2) \hat{1}$$

この方程式は

$$\left\{ \begin{array}{l} \hat{G}(1,2) \rightarrow \exp(i e \chi_1 \hat{\tau}_3) \hat{G}(1,2) \exp(-i e \chi_2 \hat{\tau}_3) \\ \mathbf{A}_1 \rightarrow \mathbf{A}_1 + \frac{\partial \chi_1}{\partial \mathbf{r}_1} \\ \Phi_1 \rightarrow \Phi_1 - \frac{\partial \chi_1}{\partial t_1} \end{array} \right.$$

に対して不変（形を変えない）



## $G$ のゲージ変換性

$$\hat{G}(1,2) \rightarrow \exp(ie\chi_1 \hat{\tau}_3) \hat{G}(1,2) \exp(-ie\chi_2 \hat{\tau}_3)$$

1,2の双方に依存



$(\mathbf{r}_{12}, t_{12})$  についてのFourier変換ダメ！

変換が $(\mathbf{R}, T)$ だけに依存するように



$(\mathbf{r}_{12}, t_{12})$  についてのFourier変換

$$\hat{\bar{G}}(1,2) \equiv \exp[iI(\vec{R}, \vec{r}_1) \hat{\tau}_3] \hat{G}(1,2) \exp[-iI(\vec{R}, \vec{r}_2) \hat{\tau}_3]$$

$$I(\vec{R}, \vec{r}_1) \equiv \int_{\vec{r}_1}^{\vec{R}} \vec{A}(\vec{s}) \cdot d\vec{s}$$

$$\vec{r}_1 \equiv (ct_1, \mathbf{r}_1), \quad \vec{A} \equiv (\Phi, -\mathbf{A}), \quad d\vec{s} : \text{直線}$$

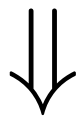
### ゲージ変換性

$$\hat{\bar{G}}(1,2) \rightarrow \exp[ie\chi(\vec{R}) \hat{\tau}_3] \hat{\bar{G}}(1,2) \exp[-ie\chi(\vec{R}) \hat{\tau}_3]$$

$$\bar{G}(1,2) \rightarrow \bar{G}(1,2),$$

$$\bar{F}(1,2) \rightarrow \bar{F}(1,2) \exp[2ie\chi(\vec{R})]: \text{電荷 } 2e \text{ の W.F.}$$

重心座標  $\vec{R}$  のみに依存！



$(\mathbf{r}_{12}, t_{12})$  についての Fourier 変換 OK

## Strategy

- Dyson方程式の書き換え

$$\hat{G} \rightarrow \hat{\bar{G}}$$

- 重心座標の Gradient Expansion
- 左 Dyson – 右 Dyson
- $\xi$  について積分



ゲージ不変な輸送方程式

(R成分につき実行—A,K成分も同様)

## 微分項(静的電磁場)

$$e^{iI(\vec{R}, \vec{r}_1) - iI(\vec{R}, r_2)} \left( i \frac{\partial}{\partial t_1} - e\Phi_1 \right) G(1,2)$$

$$= \left[ \frac{i}{2} \frac{\partial}{\partial T} + i \frac{\partial}{\partial t} + \frac{e}{2} \mathbf{E} \cdot \mathbf{r} \right] \bar{G}(1,2)$$

**E**: 電場  
**h**: 磁場

$$e^{iI(\vec{R}, \vec{r}_1) - iI(\vec{R}, r_2)} \left( -i\nabla_1 - e\mathbf{A}_1 \right) G(1,2)$$

$$= \left[ -\frac{i}{2} \frac{\partial}{\partial \mathbf{R}} - i \frac{\partial}{\partial \mathbf{r}} - \frac{e}{2} (\mathbf{h} \times \mathbf{r} - \mathbf{E}t) \right] \bar{G}(1,2)$$

$$e^{iI(\vec{R}, \vec{r}_1) + iI(\vec{R}, r_2)} \left( -i\nabla_1 - e\mathbf{A}_1 \right) F(1,2)$$

$$= \left[ -\frac{i}{2} \frac{\partial}{\partial \mathbf{R}} - e\mathbf{A} - i \frac{\partial}{\partial \mathbf{r}} - \frac{e}{4} (\mathbf{h} \times \mathbf{r} - \mathbf{E}t) \right] \bar{F}(1,2)$$

**ゲージ不変な微分 + ホール項 !**

## ゲージ不変な微分

$$\partial_T \equiv \begin{cases} \frac{\partial}{\partial T} & \text{on } G, G^*, \mathbf{E}, \mathbf{h} \\ \frac{\partial}{\partial T} + 2ie\Phi(\vec{R}) & \text{on } F \\ \frac{\partial}{\partial T} - 2ie\Phi(\vec{R}) & \text{on } F^* \end{cases}$$

$$\partial_R \equiv \begin{cases} \nabla_R & \text{on } G, G^*, \mathbf{E}, \mathbf{h} \\ \nabla_R - 2ie\mathbf{A}(\vec{R}) & \text{on } F \\ \nabla_R + 2ie\mathbf{A}(\vec{R}) & \text{on } F^* \end{cases}$$

微分項はすべて  $\partial_T$  と  $\partial_R$  で表せる

## 自己エネルギー項

- ゲージ不変な微分で表せるか否か？
- 電子の質量 $m$ が如何に変更を受けるか？
- 新たな項が現れるか否か？



- ゲージ不変な微分で表せる！
- $m \rightarrow m^*$
- 否

## より具体的には

(1)  $\int \hat{\Sigma}(1,3)\hat{G}(3,2)d^3$  を  $\hat{\Sigma}$  と  $\hat{G}$  で表す

(2) ゲージ不変な微分の使用

(3) Fourier 変換

$$\begin{aligned}\hat{\Sigma}(1,2) &= \int \frac{d\mathbf{p}}{(2\pi)^3} \int \frac{d\varepsilon}{2\pi} \hat{\Sigma}(\mathbf{p}\varepsilon, \mathbf{R}T) \\ &\quad \times e^{i\mathbf{p}\cdot(\mathbf{r}_1-\mathbf{r}_2)-i\varepsilon(t_1-t_2)}\end{aligned}$$

(4) 展開

$$\begin{aligned}\hat{\Sigma}(\mathbf{p}\varepsilon, \mathbf{R}T) &\approx \hat{\Sigma}(\mathbf{p}_F\varepsilon, \mathbf{R}T) \\ &\quad + \left( \frac{\mathbf{v}_F}{a} - \frac{\mathbf{p}_F}{m} \right) \cdot (\mathbf{p} - \mathbf{p}_F)\end{aligned}$$

$a$  : 繰り込み因子

## 左Dyson方程式

$$\begin{aligned} & (\varepsilon \hat{1} - \hat{\sigma} \hat{\tau}_3) \circ \hat{G} - \xi \hat{\tau}_3 \circ \hat{G} + \frac{i}{2} \mathbf{v}_F \cdot \partial_{\mathbf{R}} \hat{\tau}_3 \hat{G} \\ & + \frac{i}{8} \mathbf{E} \cdot \frac{\partial}{\partial \mathbf{p}} (3 \hat{\tau}_3 \hat{G} + \hat{G} \hat{\tau}_3) \\ & + \frac{i}{8} \mathbf{v}_F \cdot \left( \mathbf{h} \times \frac{\partial}{\partial \mathbf{p}} + \mathbf{E} \frac{\partial}{\partial \varepsilon} \right) (3 \hat{G} + \hat{\tau}_3 \hat{G} \hat{\tau}_3) \\ & = a \hat{1} \end{aligned}$$

$\mathbf{v}_F$ : フェルミ速度,  $\hat{\tau}_3$ : パウリ行列

$$\hat{\sigma}(\hat{\mathbf{p}}\varepsilon, \mathbf{R}T) \equiv a \left( \frac{p_F^2}{2m} - \mu \right) \hat{1} + a \hat{\Sigma}(\mathbf{p}_F \varepsilon, \mathbf{R}T) \hat{\tau}_3$$

- $\xi$  を消去(左-右)
- $\xi$  について積分



## 準古典方程式

### 準古典グリーン関数

$$\hat{g}(\hat{\mathbf{p}}\varepsilon, \mathbf{R} T) \equiv \frac{i}{a\pi} \int_{-\infty}^{\infty} d\xi_{\mathbf{p}} \hat{\tau}_3 \hat{G}(\mathbf{p}\varepsilon, \mathbf{R} T)$$

### 準古典方程式

$$\begin{aligned} & [\varepsilon \hat{\tau}_3 - \hat{\sigma}, \hat{g}]_0 + i \mathbf{v}_F \cdot \partial_{\mathbf{R}} \hat{g} \\ & + \frac{i}{2} e \left[ (\mathbf{v}_F \times \mathbf{h}) \cdot \frac{\partial}{\partial \mathbf{p}} + \mathbf{v}_F \cdot \mathbf{E} \frac{\partial}{\partial \varepsilon} \right] [\hat{\tau}_3, \hat{g}] \\ & = 0 \end{aligned}$$

## 記号の説明

$$[A, B] \equiv AB - BA$$

$$\{A, B\} \equiv AB + BA$$

$$A \circ B \equiv \exp \left[ \frac{i}{2} \left( \frac{\partial}{\partial \varepsilon} \frac{\partial}{\partial T'} - \frac{\partial}{\partial T} \frac{\partial}{\partial \varepsilon'} \right) \right] \\ \times A(\varepsilon, T) B(\varepsilon', T') \Big|_{\varepsilon'=\varepsilon, T'=T}$$

$$[A, B]_{\circ} \equiv A \circ B - B \circ A$$

$$\hat{\sigma}(\hat{\mathbf{p}}\varepsilon, \mathbf{R}T) \equiv a \left( \frac{p_{\mathbf{F}}^2}{2m} - \mu \right) \hat{1} + a \hat{\Sigma}(\mathbf{p}_{\mathbf{F}}\varepsilon, \mathbf{R}T) \hat{\tau}_3$$

$$\hat{\tau}_3 = \begin{bmatrix} 1 & 0 \\ 0 & -1 \end{bmatrix} : \text{パウリ行列}$$

$\mathbf{v}_{\mathbf{F}}$  : フェルミ速度

## 正常金属

$$g^{\text{R}} = -g^{\text{A}} = 1 \quad (\propto \text{状态密度})$$

$$\frac{\partial g^{\text{K}}}{\partial T} + \mathbf{v}_{\text{F}} \cdot \frac{\partial g^{\text{K}}}{\partial \mathbf{R}} + \left[ e \mathbf{v}_{\text{F}} \cdot \mathbf{E} \frac{\partial}{\partial \varepsilon} + e (\mathbf{v}_{\text{F}} \times \mathbf{h}) \cdot \frac{\partial}{\partial \mathbf{p}} \right] g^{\text{K}}$$

$$= i [2\sigma^{\text{K}} + (\sigma^{\text{A}} - \sigma^{\text{R}})] g^{\text{K}}$$

## ゲージ不変性

$$\begin{aligned} & [\varepsilon \hat{\tau}_3 - \hat{\sigma}, \hat{g}]_0 + i \mathbf{v}_F \cdot \partial_{\mathbf{R}} \hat{g} \\ & + \frac{i}{2} e \left[ (\mathbf{v}_F \times \mathbf{h}) \cdot \frac{\partial}{\partial \mathbf{p}} + \mathbf{v}_F \cdot \mathbf{E} \frac{\partial}{\partial \varepsilon} \right] [\hat{\tau}_3, \hat{g}] \\ & = 0 \end{aligned}$$

この方程式は

$$\left\{ \begin{array}{l} \hat{g} \rightarrow e^{ie\chi(\vec{R})\hat{\tau}_3} \hat{g} e^{-ie\chi(\vec{R})\hat{\tau}_3} \\ \mathbf{A} \rightarrow \mathbf{A} + \frac{\partial \chi}{\partial \mathbf{R}} \\ \Phi \rightarrow \Phi - \frac{\partial \chi}{\partial T} \end{array} \right.$$

に対して不変（形を変えない）

## 時間変動する電磁場

$$\begin{aligned}
 & [\varepsilon \hat{\tau}_3 - \hat{\sigma}, \hat{g}]_0 + i \mathbf{v}_F \cdot \partial_{\mathbf{R}} \hat{g} \\
 & + \frac{i}{2} \mathcal{O}_g[\hat{\tau}_3, \hat{g}] + \frac{i}{2} \mathcal{O}_f\{\hat{\tau}_3, \hat{g}\} = 0
 \end{aligned}$$

$$\begin{aligned}
 \mathcal{O}_g = & \frac{1}{2} \int_{-1}^1 d\eta \ e \left\{ \mathbf{v}_F \times \mathbf{h} \left( \mathbf{R}, T - \frac{i}{2} \eta \partial_\varepsilon \right) \right\} \cdot \frac{\partial}{\partial \mathbf{p}} \\
 & + e \mathbf{v}_F \cdot \mathbf{E} \left( \mathbf{R}, T - \frac{i}{2} \eta \partial_\varepsilon \right) \frac{\partial}{\partial \varepsilon} \left. \vphantom{\int_{-1}^1} \right\}
 \end{aligned}$$

$$\begin{aligned}
 \mathcal{O}_f = & \frac{1}{2} \left( \int_0^1 - \int_{-1}^0 \right) d\eta \ e \left\{ \mathbf{v}_F \times \mathbf{h} \left( \mathbf{R}, T - \frac{i}{2} \eta \partial_\varepsilon \right) \right\} \cdot \frac{\partial}{\partial \mathbf{p}} \\
 & + e \mathbf{v}_F \cdot \mathbf{E} \left( \mathbf{R}, T - \frac{i}{2} \eta \partial_\varepsilon \right) \frac{\partial}{\partial \varepsilon} \left. \vphantom{\int_0^1} \right\}
 \end{aligned}$$

## まとめ

- ホール項を含んだ超伝導輸送方程式  
(準古典方程式)の導出

方程式のゲージ不変性に着目  
渦糸状態のホール効果研究の基礎

- 輸送方程式の微視的導出法の確立